

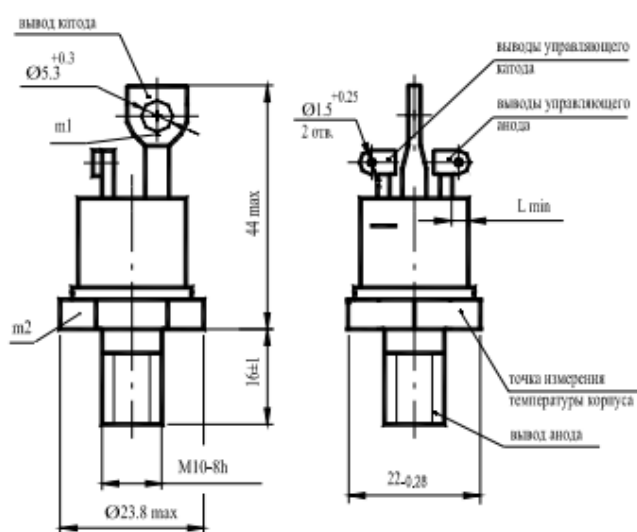
ОПТОТИРИСТОРЫ

ТО142-50, ТО142-63, ТО142-80

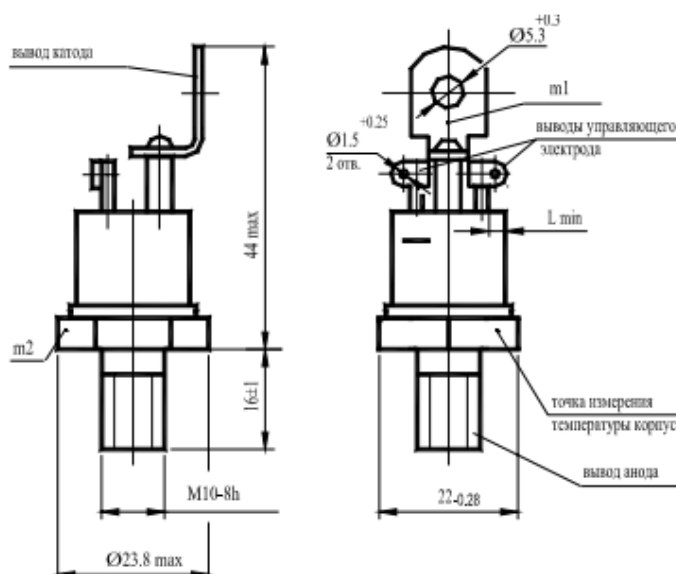


Конструкция оптотиристоров

Вариант I



Вариант II



$m1, m2$ - контрольные точки измерения импульсного напряжения в открытом состоянии;
 $L_{\min} = 3,3 \text{ мм}$ - длина пути для тока утечки между выводом анода и выводом управляющего электрода, расстояние по воздуху между этими выводами.

Механические параметры

Наименование, единица измерения	Тип оптотиристора		
	ТО142-50	ТО142-63	ТО142-80
Масса оптотиристора, г, не более	48,1		
Растягивающая сила, Н	для вывода катода	39,2 ± 4,0	
	для вывода управляющего электрода	9,8 ± 0,1	
Крутящий момент, Нм	для вывода анода	10,0 ± 1,0	

Параметры закрытого состояния

Обозначение параметра	Наименование, единица измерения	Тип оптодиристора			Условия установления норм на параметры
		TO142-50	TO142-63	TO142-80	
U_{DRM} , U_{RRM}	Повторяющееся импульсное напряжение в закрытом состоянии и повторяющееся импульсное обратное напряжение, В, для класса: 2 4 5 6 8 9 10 11 12		200 400 500 600 800 900 1000 1100 1200		$T_{jm} = 100\text{ }^{\circ}\text{C}$, Импульс напряжения синусоидальный, однополупериодный, $t_i = 10\text{ мс}$, $f = 50\text{ Гц}$
U_{DSM} , U_{RSM}	Неповторяющееся импульсное напряжение в закрытом состоянии и неповторяющееся импульсное обратное напряжение, В, для класса: 2 4 5 6 8 9 10 11 12		225 450 560 670 900 1000 1100 1200 1300		$T_{jm} = 100\text{ }^{\circ}\text{C}$, Импульс напряжения синусоидальный, одиночный, однополупериодный, $t_i = 10\text{ мс}$
U_D , U_R	Постоянное напряжение в закрытом состоянии и постоянное обратное напряжение, В		$0,6U_{DRM} (U_{RRM})$		$T_c = 70\text{ }^{\circ}\text{C}$
U_{DWM} , U_{RWM}	Рабочее импульсное напряжение в закрытом состоянии и рабочее импульсное обратное напряжение, В		$0,8U_{DRM} (U_{RRM})$		$T_c = 70\text{ }^{\circ}\text{C}$
$(dU_D/dt)_{crit}$	Критическая скорость нарастания напряжения в закрытом состоянии, В/мкс, не менее, для группы: 0 1 2 3 4 5 6 7		не нормируется, но не менее 10 20 50 100 200 320 500 1000		$T_{jm} = 100\text{ }^{\circ}\text{C}$, $U_D = 0,67U_{DRM}$, $t_U = 200\text{ мс}$
I_{DRM} , I_{RRM}	Повторяющийся импульсный ток в закрытом состоянии и повторяющийся импульсный обратный ток, мА не более		2,2 5,0		$T_j = 25\text{ }^{\circ}\text{C}$, $U_D = U_{DRM}$, $U_R = U_{RRM}$ $T_{jm} = 100\text{ }^{\circ}\text{C}$, $U_D = U_{DRM}$, $U_R = U_{RRM}$

Параметры открытого состояния

Параметр		Значение параметра			Условия установления норм на параметры
Буквенное обозначение	Наименование, единица измерения	ТО142-50	ТО142-63	ТО142-80	
I_{TAVM}	Максимально допустимый средний ток в открытом состоянии, А	50	63	80	$T_c=70^\circ\text{C}$ Импульсы тока синусоидальные однополупериодные длительностью не более 10 мс частотой 50 Гц.
	Фактический максимально допустимый средний ток в открытом состоянии, А	53	66	84	
I_{TRMSM}	Максимально допустимый действующий ток в открытом состоянии, А	79	99	126	
I_{TSM}	Ударный ток в открытом состоянии, кА	0,9	1,3	1,5	$T_j=25^\circ\text{C}$
		0,8	1,2	1,35	$T_{jm}=100^\circ\text{C}$ Импульс тока синусоидальный однополупериодный одиночный длительностью не более 10 мс, $U_R=0$, $I_G=I_{GT}$ при T_{jmin} .
U_{TM}	Импульсное напряжение в открытом состоянии, В, не более	1,85	1,75		$T_j=25^\circ\text{C}$, $I_T=3,14I_{TAVM}$
$U_{T(TO)}$	Пороговое напряжение в открытом состоянии, В, не более	1,0			$T_{jm}=100^\circ\text{C}$
r_T	Динамическое сопротивление в открытом состоянии, мОм, не более	5,4	3,8	3,0	$T_{jm}=100^\circ\text{C}$
I_H	Ток удержания, мА, не более	70			$T_j=25^\circ\text{C}$, $U_D=12\text{ В}$, цепь управления разомкнута.
I_L	Ток включения, мА, не более	100			$T_j=25^\circ\text{C}$, $U_D=12\text{ В}$. Режим цепи управления: импульс тока трапецеидальный, $I_G=250\text{ мА}$, $t_G=50\text{ мс}$, $di_G/dt=0,5\text{ А/мкс}$. Внутреннее сопротивление источника управления не более 30 Ом.
I_{TAV}	Средний ток в открытом состоянии на охлаждающем устройстве ОР241-80 при $T_a=40^\circ\text{C}$, А	19	20	21	естественное охлаждение
		36	41	45	принудительное охлаждение $v=6\text{ м/с}$

Параметры гальванической развязки

Параметр		Значение параметра	Условия установления норм на параметры
Буквенное обозначение	Наименование, единица измерения	TO142-50 TO142-63 TO142-80	
U_{IG}	Электрическая прочность изоляции между основными выводами и выводами управляющего электрода, В (действующее значение)	2150	Нормальные климатические условия. Частота испытательного напряжения 50 Гц. Время приложения испытательного напряжения не менее 60 с.
R_{IG}	Сопротивление изоляции между основными выводами и выводами управляющего электрода, МОм, не менее	20	Нормальные климатические условия. $U_{IG}=1000$ В. Время приложения испытательного напряжения не менее 10 с.
		2	Повышенная влажность (93%). $U_{IG}=1000$ В. Время приложения испытательного напряжения не менее 10 с.

Параметры переключения

Обозначение параметра	Наименование, единица измерения	Тип оптотиристора			Условия установления норм на параметры
		TO142-50	TO142-63	TO142-80	
$(di_T/dt)_{crit}$	Критическая скорость нарастания тока в открытом состоянии, А/мкс, не менее	100			$T_j = 100$ °C, $U_D = 0,67 U_{DRM}$; $I_T = 2I_{TAVM}$ Импульс тока синусоидальный однополупериодный частотой $f = 1-5$ Гц. Режим цепи управления: форма импульса тока -трапецидальная; $I_G = (500 \pm 10)$ мА; $t_G = 50$ мкс; длительность фронта 1мкс. Внутреннее сопротивление источника управления не более 30 Ом . Время испытаний не более 10 с.
t_{gt}	Время включения, мкс, не более	15			$T_j = 25$ °C, $U_D = 100$ В, $I_T = I_{TAVM}$ Режим цепи управления: форма импульса тока- трапецидальная; $I_G = 150$ мА; $t_G = 50$ мкс; $di_G/dt = 0,5$ А/мкс Внутреннее сопротивление источника управления не более 30 Ом .
t_{gd}	Время задержки, мкс, не более	5			
Q_{rr}	Заряд обратного восстановления, мкКл, не более	95	116	145	$T_j = 25$ °C, $I_T = I_{TAVM}$, $(di_T/dt)_f = 5$ А/мкс, $U_R = 100$ В
I_{rrm}	Импульсный обратный ток восстановления, А, не более	22	30	34	
t_{rr}	Время обратного восстановления, мкс, не более	6,8	7,8	8,5	
t_q	Время выключения, мкс, не более	160			$T_j = 25$ °C, $I_T = I_{TAVM}$, $U_D = 0,67U_{DRM}$, $di_T/dt = 5$ А/мкс, $U_R = 100$ В, $t_{i min} = 500$ мкс, $dU_D/dt = (dU_D/dt)_{crit}$

Параметры управления

Обозначение параметра	Наименование, единица измерения	Тип оптодиристора			Условия установления норм на параметры
		ТО142-50	ТО142-63	ТО142-80	
U_{GT}	Отпирающее постоянное напряжение управления, В, не более (для приборов с индексом "А")	1,8			$T_j = 25\text{ }^{\circ}\text{C}$, $U_D = 12\text{ В}$
I_{GT}	Отпирающий постоянный ток управления, мА, не более (для приборов с индексом "А")	80			$T_j = 25\text{ }^{\circ}\text{C}$, $U_D = 12\text{ В}$
$I_{G\text{ max}}$	Максимально допустимый постоянный ток управления, мА (для приборов с индексом "А")	100			$T_j = 25\text{ }^{\circ}\text{C}$, $U_D = 12\text{ В}$
U_{GTM}	Отпирающее импульсное напряжение управления, В, не более	2,5			$T_j = 25\text{ }^{\circ}\text{C}$
		3,0			$T_j = \text{минус } 50\text{ }^{\circ}\text{C}$
I_{GTM}	Отпирающий импульсный ток управления, мА, не более	150			$T_j = 25\text{ }^{\circ}\text{C}$, $t_i = 100\text{ мкс}$
		300			$T_j = \text{минус } 50\text{ }^{\circ}\text{C}$, $t_i = 100\text{ мкс}$
$I_{GM\text{ max}}$	Максимально допустимый импульсный ток управления, мА	700			$t_i = 100\text{ мкс}$, скважность $k = 10$
U_{GD}	Неотпирающее постоянное напряжение управления, В, не менее	0,9			$T_j = 100\text{ }^{\circ}\text{C}$, $U_D = 0,67U_{DRM}$
I_{GD}	Неотпирающий постоянный ток управления, мА, не менее	3,0			$T_j = 100\text{ }^{\circ}\text{C}$, $U_D = 0,67U_{DRM}$

Тепловые параметры

Параметр		Значение параметра			Условия установления норм на параметры
Буквенное обозначение	Наименование, единица измерения	ТО142-50	ТО142-63	ТО142-80	
T_{jm}	Максимально допустимая температура перехода, $^{\circ}\text{C}$	100			
T_{jmin}	Минимально допустимая температура перехода, $^{\circ}\text{C}$	минус 50			
T_{stgm}	Максимально допустимая температура хранения, $^{\circ}\text{C}$	50 для исполнения У2 60 для исполнения Т3 и ОМ2.1			
T_{stgm}	Минимально допустимая температура хранения, $^{\circ}\text{C}$	минус 50 минус 10 для исполнения Т3			
R_{thjc}	Тепловое сопротивление переход-корпус, $^{\circ}\text{C}/\text{Вт}$, не более	0,36	0,3	0,24	Постоянный ток
R_{thch}	Тепловое сопротивление корпус-охладитель, $^{\circ}\text{C}/\text{Вт}$, не более	0,1			
R_{thja}	Тепловое сопротивление переход-среда с охладителем ОР241-80, $^{\circ}\text{C}/\text{Вт}$, не более	2,58	2,52	2,46	естественное охлаждение
		1,13	1,07	1,01	принудительное охлаждение $v = 6\text{ м/с}$

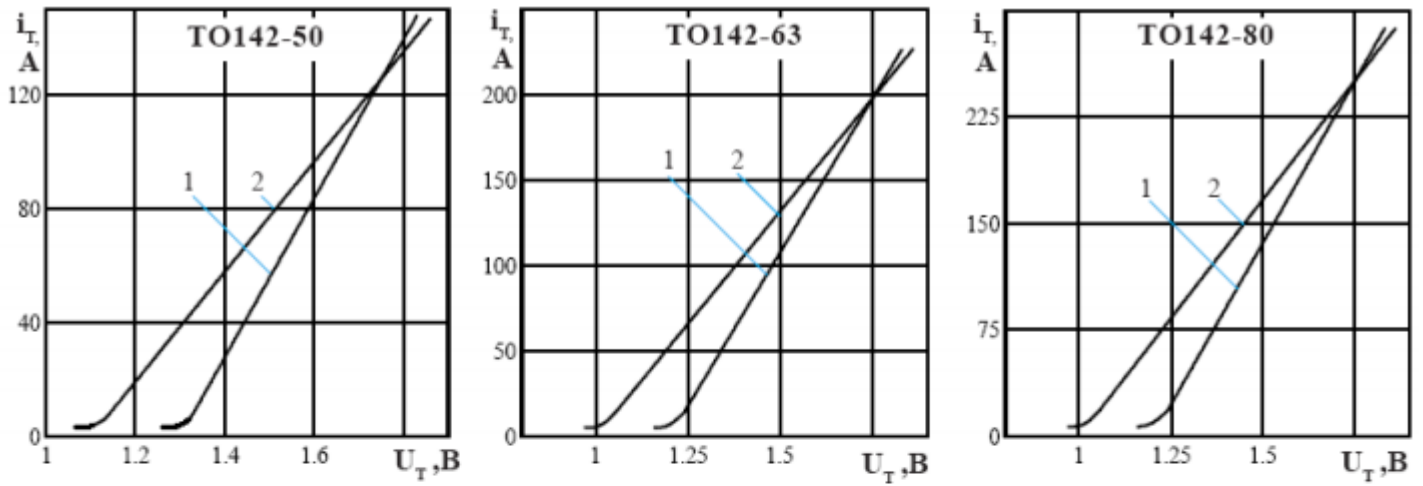


Рисунок 1 - Пределная вольтамперная характеристика в открытом состоянии при температуре перехода 25 °С (1) и максимальной температуре перехода T_{jm} (2) $I_T = 3,14I_{TAVM}$

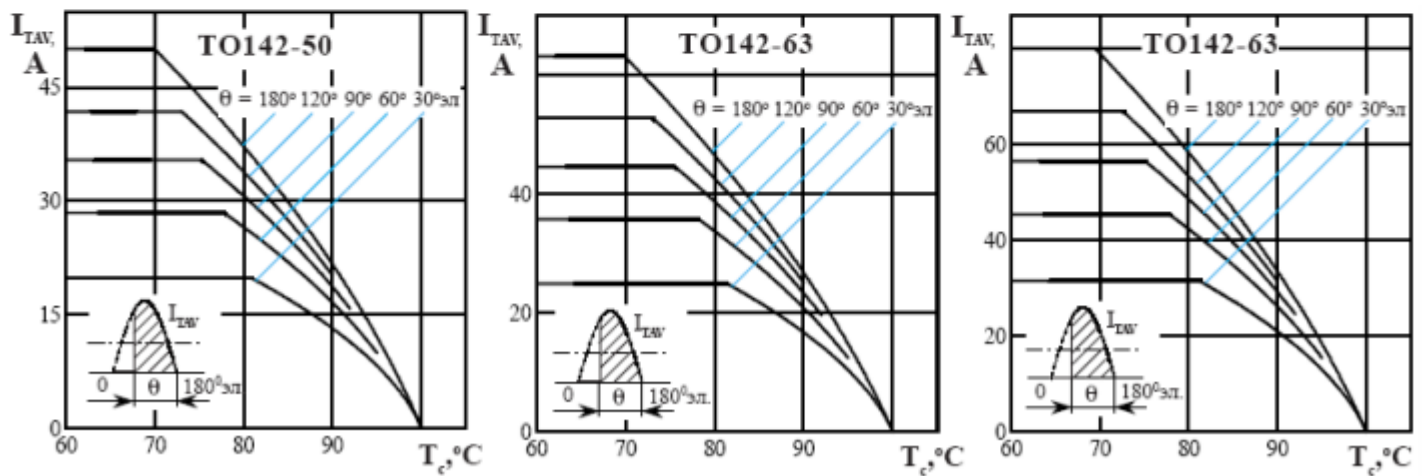


Рисунок 2 - Зависимость допустимого среднего тока в открытом состоянии I_{TAV} от температуры корпуса T_c для токов синусоидальной формы частотой $f = 50$ Гц

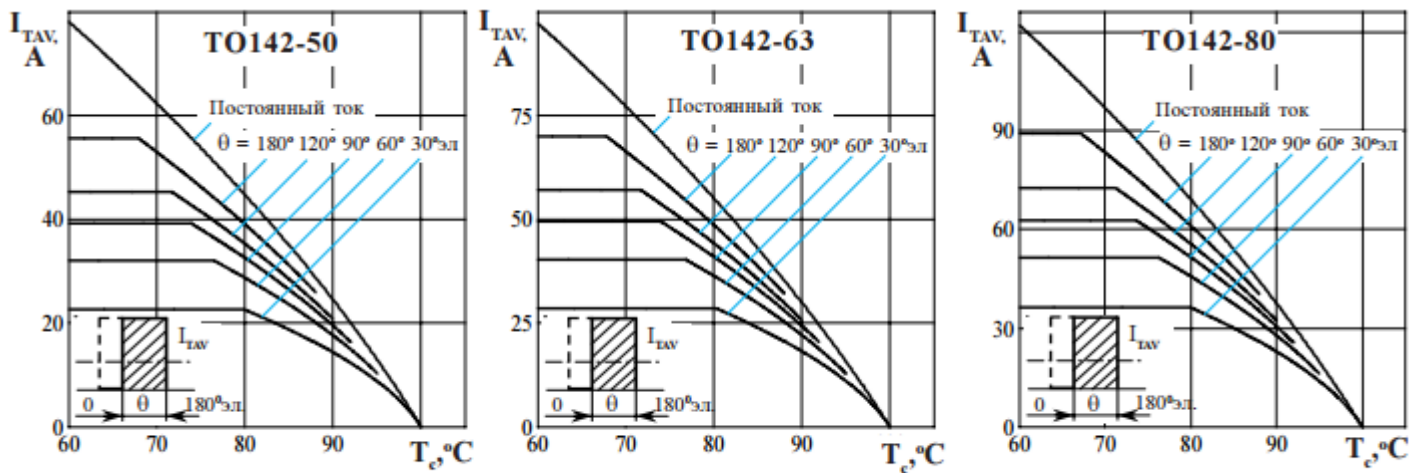


Рисунок 3 - Зависимость допустимого среднего тока в открытом состоянии $I_{T(AV)}$ от температуры корпуса T_c для токов прямоугольной формы частотой $f = 50$ Гц и постоянного тока

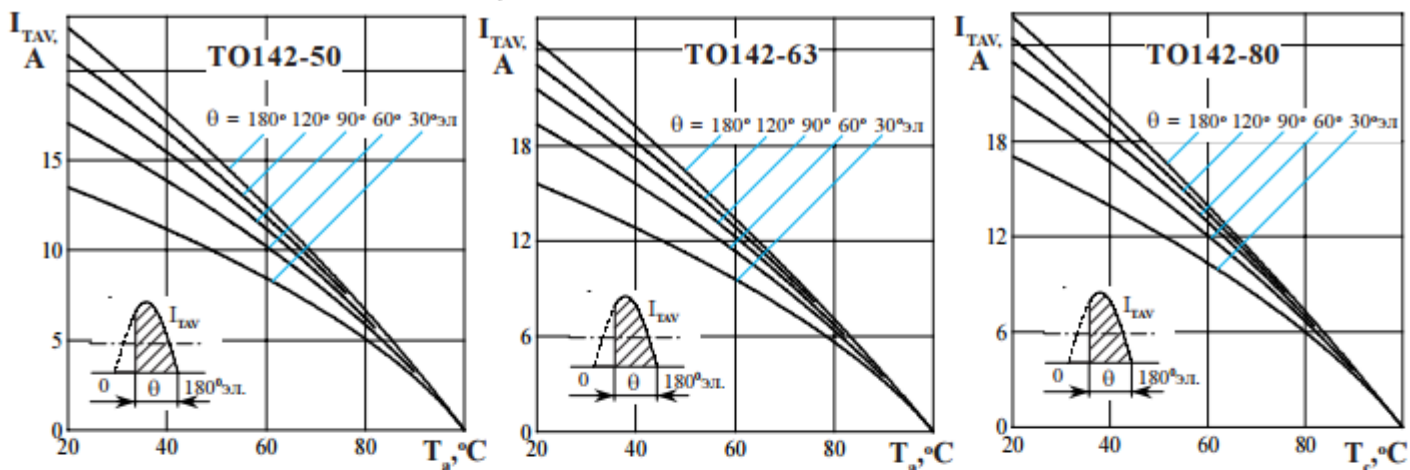


Рисунок 4 - Зависимость допустимого среднего тока в открытом состоянии I_{TAV} от температуры окружающей среды T_a при естественном охлаждении на типовом охладителе при различных углах проводимости и для токов синусоидальной формы частоты $f = 50$ Гц и постоянного тока

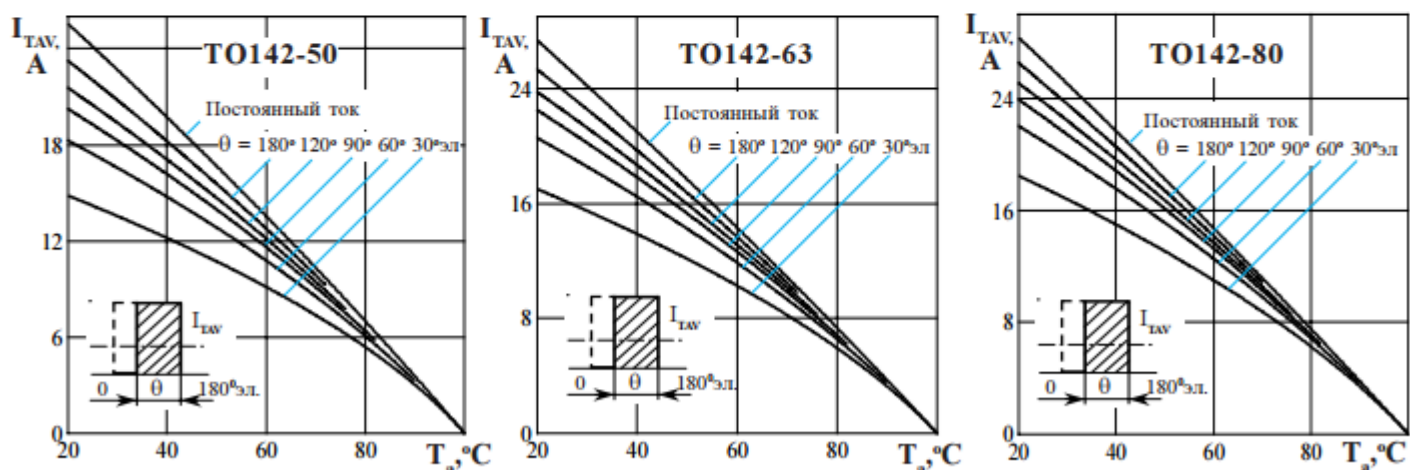


Рисунок 5 - Зависимость допустимого среднего тока в открытом состоянии I_{TAV} от температуры окружающей среды T_a при естественном охлаждении на типовом охладителе при различных углах проводимости и для токов прямоугольной формы частоты $f = 50$ Гц и постоянного тока

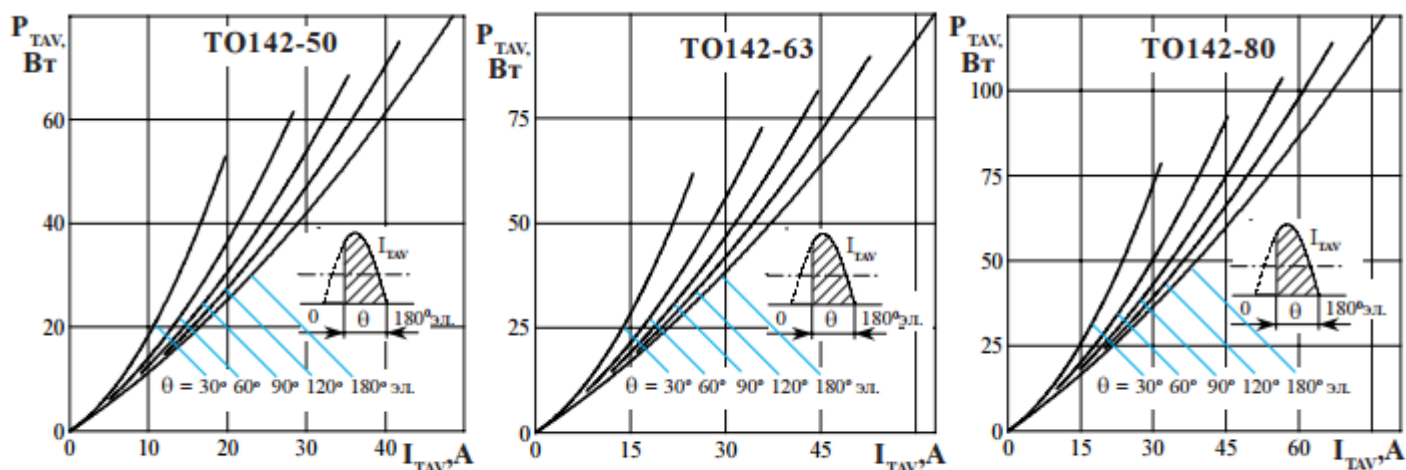


Рисунок 6 - Зависимость средней рассеиваемой мощности в открытом состоянии P_{TAV} от среднего тока в открытом состоянии I_{TAV} синусоидальной формы частоты $f = 50$ Гц

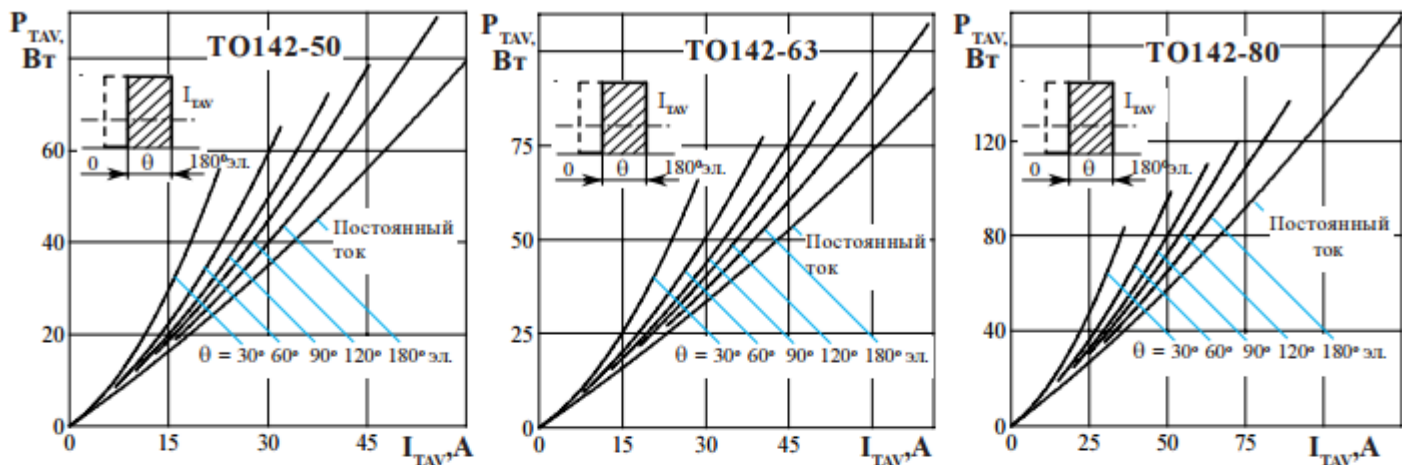


Рисунок 7 - Зависимость средней рассеиваемой мощности в открытом состоянии P_{TAV} от среднего тока в открытом состоянии I_{TAV} прямоугольной формы частотой $f = 50$ Гц и постоянного тока

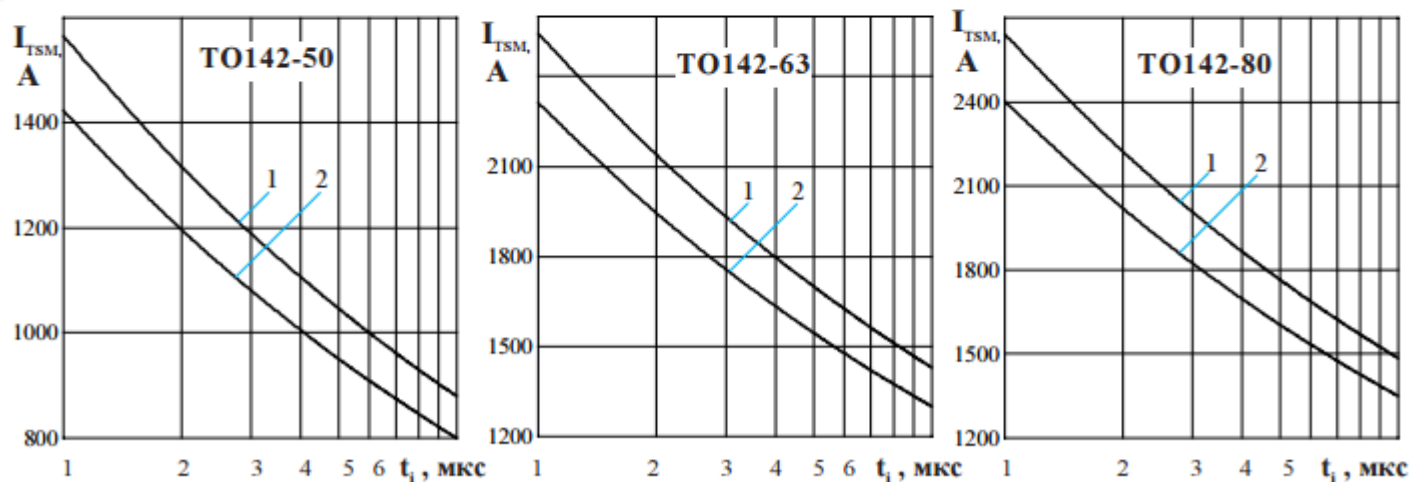


Рисунок 8 - Зависимость допустимой амплитуды ударного тока в открытом состоянии I_{TSM} от длительности импульса тока t_i при исходной температуре структуры $T_j = 25^\circ\text{C}$ (1) и максимальной температуре T_{jm} (2)

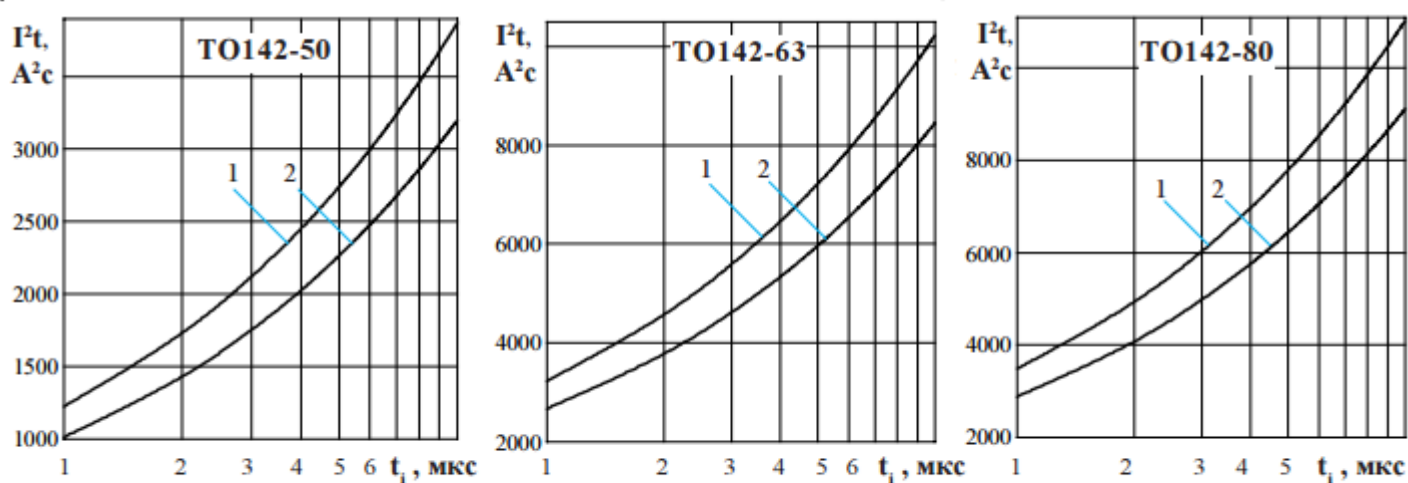


Рисунок 9 - Зависимость защитного показателя I^2t от длительности импульса тока t_i при исходной температуре структуры $T_j = 25^\circ\text{C}$ (1) и максимальной температуре T_{jm} (2)

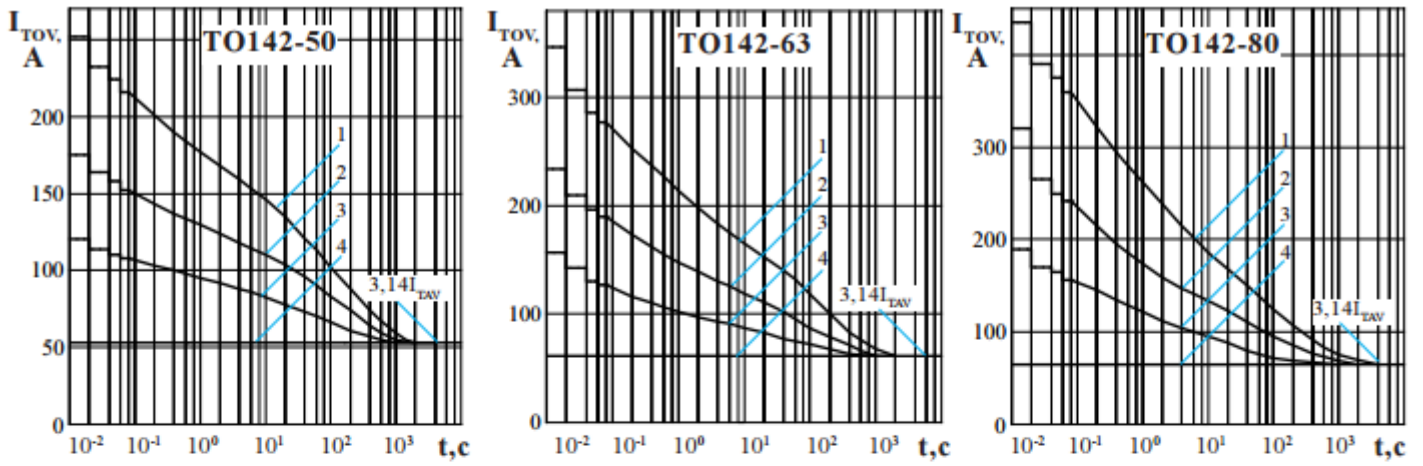


Рисунок 10 - Зависимость допустимой амплитуды тока перегрузки в открытом состоянии I_{TOV} синусоидальной формы частотой $f = 50$ Гц от длительности перегрузки t при температуре окружающей среды $T_a = 40$ °C и при отношении тока, предшествующего перегрузке, I_T к допустимому среднему току с охладителем I_{TAV} равному $k = I_T / I_{TAV}$; $k = 0$ (1); 0,5 (2); 0,75 (3); 1,0 (4).

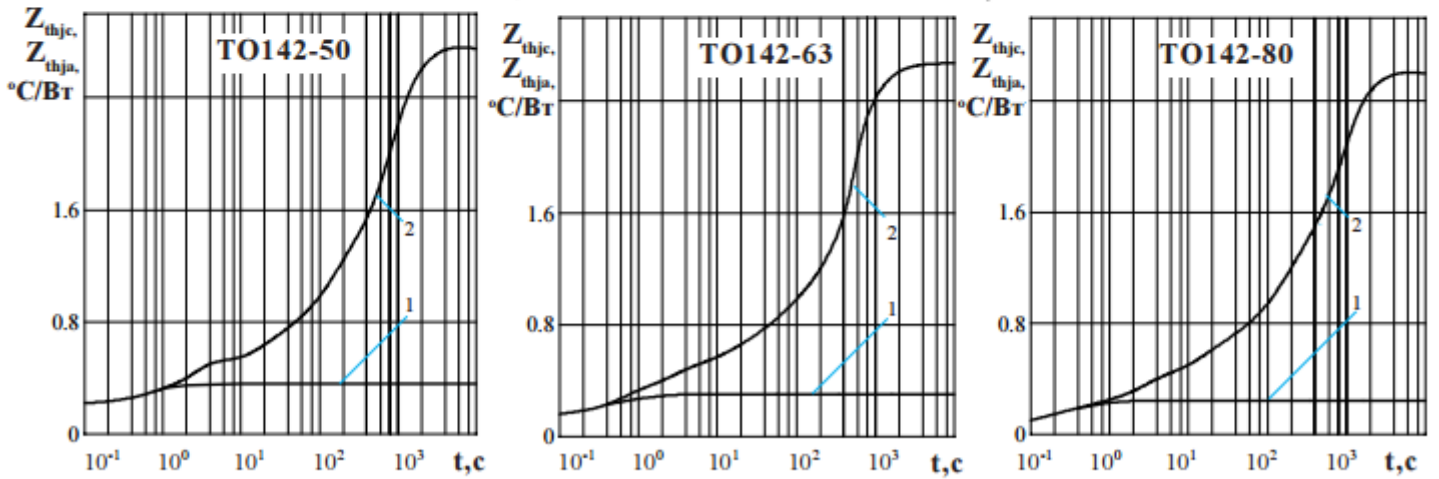


Рисунок 11 - Зависимость теплового сопротивления переход - корпус Z_{thjc} (1) и переход- среда Z_{thja} (2) от времени t при естественном охлаждении $T_a = 40$ °C на типовом охладителе.

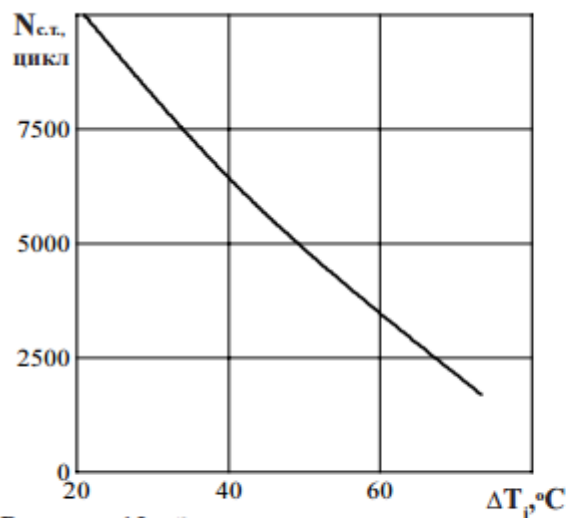


Рисунок 12 - Зависимость максимально допустимого числа циклов нагрев-охлаждение $N_{c.t.}$ от диапазона изменения температуры перехода ΔT_p при дицической токовой нагрузке.

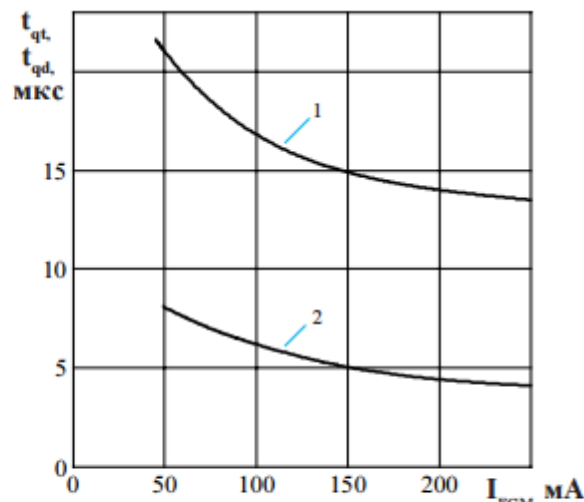


Рисунок 13 - Зависимость времени включения t_{qt} (1) и времени задержки t_{qd} (2) от амплитуды управляющего импульса I_{FGM} при температуре перехода $T = 25$ °C; $di/dt = 5$ А/мкс; $t_g = 50$ мкс; $U_D = 100$ В; $I_T = I_{TAV}$

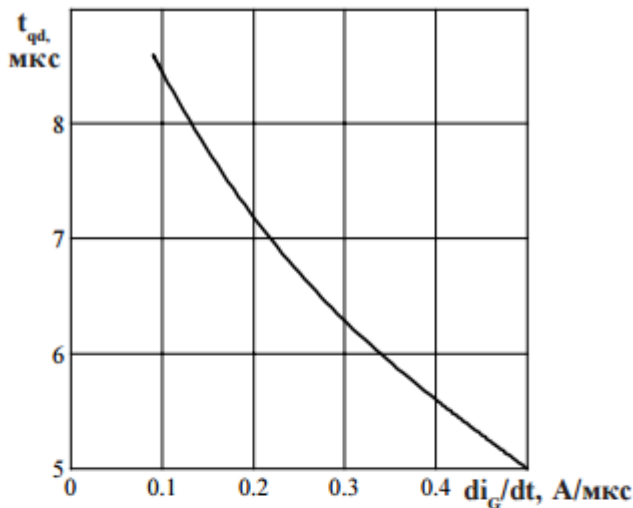


Рисунок 14 - Зависимость времени задержки t_{qd} от скорости нарастания тока управляющего импульса di_c/dt при температуре перехода $T_j = 25\text{ }^\circ\text{C}$; $t_G = 50\text{ мкс}$; $U_D = 100\text{ В}$; $I_{GTM} = 150\text{ мА}$.

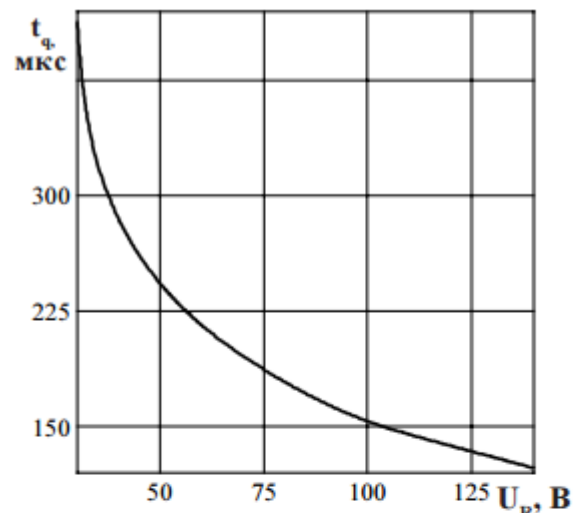


Рисунок 15 - Зависимость времени выключения t_q от обратного напряжения U_R при максимальной температуре перехода $T_{jm} = 100\text{ }^\circ\text{C}$; $I_T = I_{TAVM}$; $(di/dt)_f = 5\text{ А/мкс}$; $dU_D/dt = 50\text{ В/мкс}$; $U_D = 0,67 U_{DRM}$

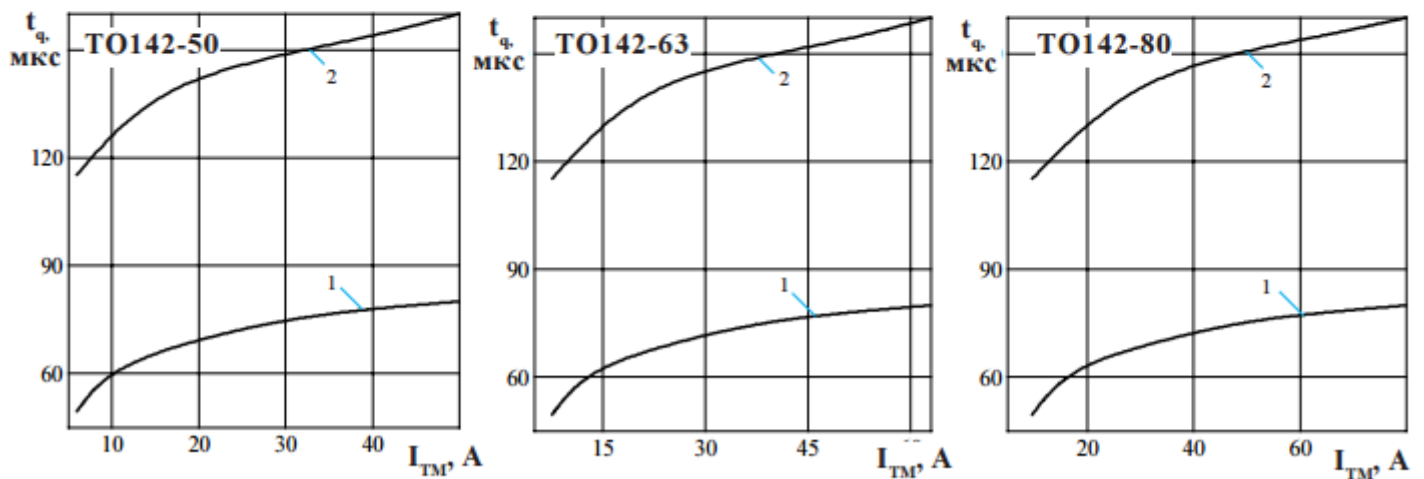


Рисунок 16 - Зависимость времени выключения t_q от амплитуды предшествующего тока в открытом состоянии I_{TM} при максимальной температуре перехода $T_{jm} = 100\text{ }^\circ\text{C}$ (2) и $T_j = 25\text{ }^\circ\text{C}$ (1); $(di/dt)_f = 5\text{ А/мкс}$; $dU_D/dt = (dU_D/dt)_{crit}$; $U_D = 0,67 U_{DRM}$; $U_R = 100\text{ В}$

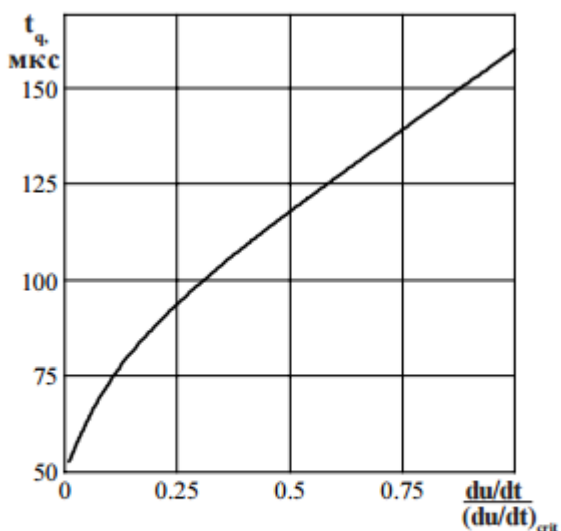


Рисунок 17 - Зависимость времени выключения t_q от скорости нарастания напряжения в закрытом состоянии dU_D/dt (отн.ед.) при $T_{jm} = 100\text{ }^\circ\text{C}$; $I_T = I_{TAVM}$; $U_D = 0,67 U_{DRM}$; $U_R = 100\text{ В}$; $(di/dt)_f = 5\text{ А/мкс}$

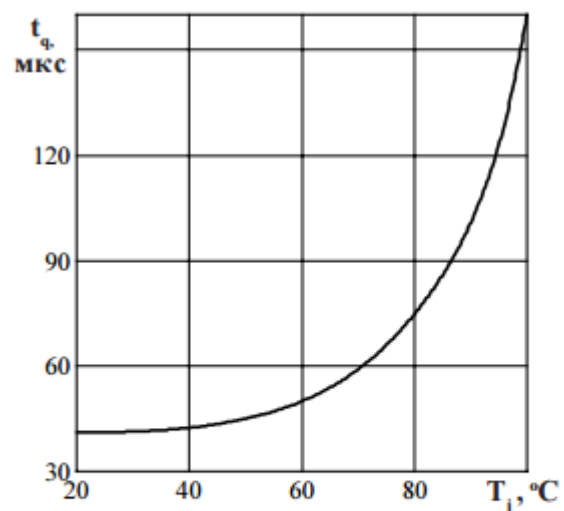


Рисунок 18 - Зависимость времени выключения t_q от температуры перехода T_j при $I_T = I_{TAVM}$; $di/dt = 5\text{ А/мкс}$; $U_R = 100\text{ В}$; $U_D = 0,67 U_{DRM}$; $dU_D/dt = (dU_D/dt)_{crit}$

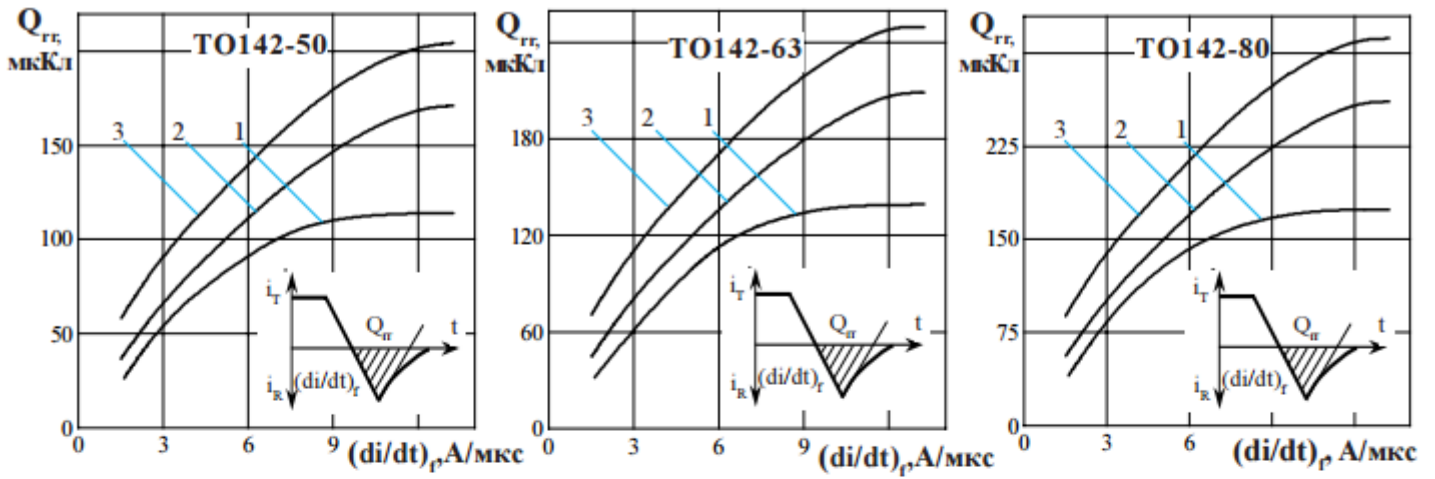


Рисунок 19 - Зависимость заряда восстановления Q_{rr} от скорости спада тока $(di/dt)_r$ в открытом состоянии при температуре перехода $T_{jm} = 100^\circ\text{C}$, $U_{RM} = 100\text{ В}$; $I_T = I_{TAVM}$.

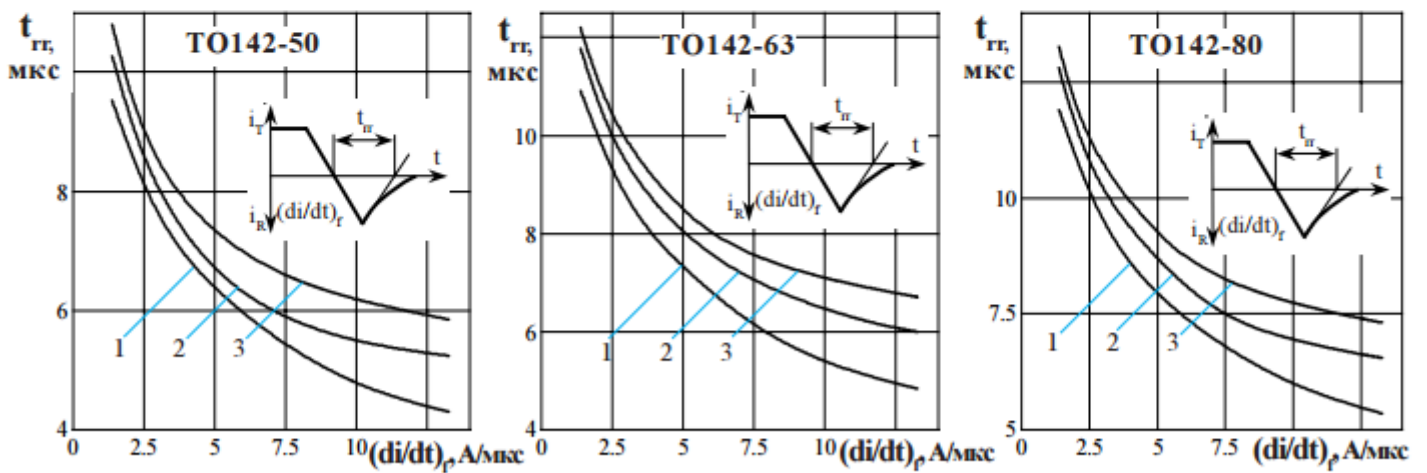


Рисунок 20 - Зависимость времени обратного восстановления t_{rr} от скорости спада тока $(di/dt)_r$ в открытом состоянии при температуре перехода $T_{jm} = 100^\circ\text{C}$, $U_R = 100\text{ В}$ и предшествующем токе открытого состояния $I_T = 0,5 I_{TAVM}$ (1), $I_T = I_{TAVM}$ (2), $I_T = 1,5 I_{TAVM}$ (3).